

Material suplementario

Tabla S1. Anisotropía fraccional: significancia estadística y tamaños del efecto de análisis.

ROI	Variable	p ^a	Tamaño del efecto
ACR	Edad	0.0394	2.30 (0, 4.45)
ACR-R	Edad	0.0005	0.43 (0.19, 0.67)
ALIC	Sexo	0.0248	0.27 (0.01, 0.50)
ALIC-L	Sexo	0.0201	0.28 (0.03, 0.51)
AF promedio	Sexo	0.0437	0.24 (0, 0.47)
AF promedio	Edad	0.0195	0.28 (0.03, 0.51)
BCC	Edad	0.0051	0.34 (0.10, 0.57)
CC	Sexo	0.0496	0.23 (0, 0.46)
CC	Edad	0.0002	0.46 (0.21, 0.70)
CGC	Sexo	0.0189	0.28 (0.04, 0.51)
CGC	Edad	0.0100	0.31 (0.07, 0.54)
CGC-L	Sexo	0.0023	0.37 (0.13, 0.60)
CGC-L	Edad	0.0204	0.28 (0.03, 0.51)
CGC-R	Edad	0.0095	0.31 (0.07, 0.55)
CGH-R	Edad de inicio	0.0199	0.28 (0.03, 0.51)
CR-R	Edad	0.0037	0.35 (0.11, 0.59)
FX	Edad	0.0090	0.31 (0.08, 0.55)
GCC	Sexo	0.0175	0.28 (0.04, 0.52)
GCC	Edad	0.0001	0.50 (0.26, 0.74)
IC	Sexo	0.0036	0.35 (0.11, 0.59)
IC-L	Sexo	0.0025	0.37 (0.13, 0.60)
IC-R	Sexo	0.0113	0.30 (0.07, 0.54)
IFO-R	Sexo	0.0229	0.27 (0.02, 0.50)
PLIC	Sexo	0.0028	0.36 (0.12, 0.60)
PLIC-L	Sexo	0.0102	0.31 (0.07, 0.54)
PLIC-R	Sexo	0.0016	0.38 (0.14, 0.62)
PTR	Edad	0.0035	0.35 (0.11, 0.6)

ROI	Variable	p ^a	Tamaño del efecto
PTR-R	Edad	0.0040	0.35 (0.11, 0.58)
SCC	Edad	0.0449	1.74 (0, 3.37)
SFO	Edad de inicio	0.0228	0.27 (0.02, 0.50)
SFO-L	Sexo	0.0040	0.35 (0.11, 0.58)
SFO-L	Edad de inicio	0.0126	0.30 (0.06, 0.53)

ROI: Regions Of Interest; ACR: corona radiada anterior; ACR-L: corona radiada anterior izquierda; ACR-R: corona radiada anterior derecha; ALIC: extremidad anterior bilateral de la cápsula interna; ALIC-L: extremidad anterior bilateral de la cápsula interna izquierda; ALIC-R: extremidad anterior bilateral de la cápsula interna derecha; AF promedio: anisotropía fraccional promedio; BCC: cuerpo del cuerpo calloso; CC: cuerpo calloso; CGC: círculo cingulado; CGC-L: círculo cingulado izquierdo; CGC-R: círculo cingulado derecho; CGH: hipocampo; CGH-R: hipocampo derecho; CR: fascículo arqueado; CR-L: fascículo arqueado izquierdo; CR-R: fascículo arqueado derecho; EC: cápsula externa; EC-R: cápsula externa derecha; FX: cuerpo del fórnix; FX/ST-L: cuerpo del fórnix y stria terminalis izquierdos; FX/ST-R: cuerpo del fórnix y stria terminalis derechos; FXST: cuerpo del fórnix y stria terminalis; GCC: rodilla del cuerpo calloso ; IC-L: pedúnculo cerebelar inferior izquierdo; IC-R: pedúnculo cerebelar inferior derecho; IFO-R: fascículos frontooccipital inferior derecho; PLIC: extremidad posterior de la cápsula interna; PLIC-L: extremidad posterior de la cápsula interna izquierda; PLIC-R: extremidad posterior de la cápsula interna derecha; PTR: radiación talámica posterior; PTR-R: radiación talámica posterior derecha; RLIC: cápsula interna retrolenticular; RLIC-L: cápsula interna retrolenticular izquierda; RLIC-R: cápsula interna retrolenticular derecha; SCC: esplenio del cuerpo calloso; SCR: corona radiada superior; SCR-R: corona radiada superior derecha; SFO: fascículo frontooccipital superior; SFO-L: fascículo frontooccipital superior izquierdo; SFO-R: fascículo frontooccipital superior derecho; SS-R: stratum sagital derecho; UNC: fascículo uncinado.

^a Valor p del modelo efectos mixtos ajustando por el grupo, la edad, el sexo, edad de inicio de la enfermedad y considerando la edad como covariante (efecto aleatorio entre grupos).

Tabla S2. Anisotropía fraccional: efectos marginales en modelos de efectos mixtos.

ROI	Grupo	Media (IC) ^a
ACR	Esquizofrenia	4606.98 (4074.77, 5139.19)
ACR	TB-I con psicosis	4456.96 (3899.43, 5014.49)
ACR	TB-I sin psicosis	4572.15 (4026.96, 5117.34)
ACR-R	Esquizofrenia	4560.77 (3932.64, 5188.90)
ACR-R	TB-I con psicosis	4641.78 (4012.09, 5271.47)
ACR-R	TB-I sin psicosis	4592.53 (3962.19, 5222.87)
ALIC	Esquizofrenia	5858.38 (5388.22, 6328.55)
ALIC	TB-I con psicosis	6028.48 (5557.15, 6499.81)
ALIC	TB-I sin psicosis	5982.15 (5510.34, 6453.97)
ALIC-L	Esquizofrenia	5807.41 (5308.20, 6306.62)
ALIC-L	TB-I con psicosis	5972.14 (5471.69, 6472.59)
ALIC-L	TB-I sin psicosis	5910.87 (5409.91, 6411.83)
AF promedio	Esquizofrenia	4790.28 (4468.19, 5112.37)
AF promedio	TB-I con psicosis	4846.97 (4524.08, 5169.86)
AF promedio	TB-I sin psicosis	4841.61 (4518.40, 5164.83)
BCC	Esquizofrenia	6703.61 (5997.72, 7409.50)
BCC	TB-I con psicosis	6779.70 (6072.06, 7487.34)
BCC	TB-I sin psicosis	6681.35 (5972.98, 7389.71)
CC	Esquizofrenia	6995.11 (6494.64, 7495.58)
CC	TB-I con psicosis	7080.53 (6578.82, 7582.24)
CC	TB-I sin psicosis	6991.66 (6489.43, 7493.88)
CGC	Esquizofrenia	6115.48 (5367.08, 6863.88)
CGC	TB-I con psicosis	6199.84 (5449.58, 6950.10)
CGC	TB-I sin psicosis	6103.27 (5352.24, 6854.30)
CGC-L	Esquizofrenia	6301.67 (5558.58, 7044.76)
CGC-L	TB-I con psicosis	6416.14 (5671.20, 7161.07)
CGC-L	TB-I sin psicosis	6306.06 (5560.36, 7051.76)
CGC-R	Esquizofrenia	5916.32 (5085.84, 6746.80)
CGC-R	TB-I con psicosis	5968.47 (5135.94, 6801.01)

ROI	Grupo	Media (IC)^a
CGC-R	TB-I sin psicosis	5886.34 (5052.94, 6719.73)
CGH-R	Esquizofrenia	6183.67 (5895.72, 6471.62)
CGH-R	TB-I con psicosis	5993.37 (5648.82, 6337.91)
CGH-R	TB-I sin psicosis	6009.66 (5691.21, 6328.10)
CR-R	Esquizofrenia	4958.71 (4489.38, 5428.03)
CR-R	TB-I con psicosis	4972.16 (4501.67, 5442.65)
CR-R	TB-I sin psicosis	4951.95 (4480.98, 5422.92)
FX	Esquizofrenia	4530.12 (2670.86, 6389.37)
FX	TB-I con psicosis	4504.18 (2640.31, 6368.05)
FX	TB-I sin psicosis	4392.66 (2526.87, 6258.44)
GCC	Esquizofrenia	6902.34 (6311.10, 7493.59)
GCC	TB-I con psicosis	6997.49 (6404.77, 7590.21)
GCC	TB-I sin psicosis	6962.45 (6369.12, 7555.78)
IC	Esquizofrenia	6481.36 (6099.49, 6863.23)
IC	TB-I con psicosis	6536.59 (6153.77, 6919.41)
IC	TB-I sin psicosis	6500.23 (6117.02, 6883.45)
IC-L	Esquizofrenia	6454.38 (6054.20, 6854.57)
IC-L	TB-I con psicosis	6537.15 (6135.98, 6938.33)
IC-L	TB-I sin psicosis	6483.38 (6081.79, 6884.97)
IC-R	Esquizofrenia	6506.95 (6198.63, 6815.27)
IC-R	TB-I con psicosis	6536.05 (6226.41, 6845.69)
IC-R	TB-I sin psicosis	6516.23 (6206.04, 6826.42)
IFO-R	Esquizofrenia	5420.55 (4457.78, 6383.33)
IFO-R	TB-I con psicosis	5644.69 (4679.52, 6609.85)
IFO-R	TB-I sin psicosis	5462.56 (4496.41, 6428.72)
PLIC	Esquizofrenia	7350.16 (6838.99, 7861.33)
PLIC	TB-I con psicosis	7391.13 (6878.69, 7903.57)
PLIC	TB-I sin psicosis	7315.16 (6802.20, 7828.13)
PLIC-L	Esquizofrenia	7347.36 (6811.90, 7882.82)
PLIC-L	TB-I con psicosis	7381.39 (6844.60, 7918.17)

ROI	Grupo	Media (IC)^a
PLIC-L	TB-I sin psicosis	7296.37 (6759.03, 7833.70)
PLIC-R	Esquizofrenia	7352.93 (6818.75, 7887.11)
PLIC-R	TB-I con psicosis	7400.77 (6865.27, 7936.28)
PLIC-R	TB-I sin psicosis	7333.77 (6797.72, 7869.83)
PTR	Esquizofrenia	6287.70 (5599.56, 6975.84)
PTR	TB-I con psicosis	6278.41 (5588.91, 6967.91)
PTR	TB-I sin psicosis	6224.71 (5534.65, 6914.78)
PTR-R	Esquizofrenia	6344.62 (5668.19, 7021.05)
PTR-R	TB-I con psicosis	6263.73 (5585.62, 6941.84)
PTR-R	TB-I sin psicosis	6270.21 (5591.40, 6949.02)
SCC	Esquizofrenia	7451.32 (7288.50, 7614.15)
SCC	TB-I con psicosis	7547.59 (7369.19, 7725.99)
SCC	TB-I sin psicosis	7470.84 (7298.17, 7643.51)
SFO	Esquizofrenia	5267.31 (4597.24, 5937.39)
SFO	TB-I con psicosis	5475.24 (4803.50, 6146.98)
SFO	TB-I sin psicosis	5401.30 (4728.87, 6073.73)
SFO-L	Esquizofrenia	5200.73 (4324.69, 6076.77)
SFO-L	TB-I con psicosis	5471.86 (4593.64, 6350.07)
SFO-L	TB-I sin psicosis	5388.50 (4509.38, 6267.62)

Siglas en Tabla S1.

^a Efectos marginales con su respectivo intervalo de confianza del 95%.

Tabla S3. Difusividad axial: significancia estadística y tamaños del efecto de análisis.

ROI	Variable	p ^a	Tamaño del efecto
ALIC	Edad	0.0001	0.47 (0.23, 0.71)
ALIC-L	Edad	0.0008	0.41 (0.17, 0.65)
ALIC-R	Edad	0.0002	0.45 (0.21, 0.69)
CGC	Edad	0.0010	0.40 (0.16, 0.64)
CGC-R	Edad	0.0097	0.31 (0.07, 0.54)
CGH	Sexo	0.0310	0.26 (0, 0.50)
CGH-R	Sexo	0.0085	0.33 (0.08, 0.58)
EC	Edad	0.0102	0.31 (0.07, 0.54)
EC-R	Edad	0.0027	0.36 (0.13, 0.60)
FX	Edad	0.0160	0.30 (0.05, 0.52)
FX.ST-L	Sexo	0.0183	0.28 (0.04, 0.51)
FX.ST-R	Sexo	0.0038	0.35 (0.11, 0.60)
FX.ST-R	Edad	0.0070	0.32 (0.09, 0.56)
FXST	Sexo	0.0045	0.34 (0.11, 0.58)
FXST	Edad	0.0235	0.27 (0.02, 0.50)
IC	Edad	0.0226	2.41 (0.16, 4.51)
IC-R	Edad	0.0001	0.48 (0.23, 0.72)
PTR	Edad	0.0489	0.23 (0, 0.47)
PTR-R	Edad	0.0373	0.25 (0, 0.48)
SCC	Sexo	0.0468	0.24 (0, 0.47)
SFO	Edad	0.0420	0.24 (0, 0.47)
SFO-R	Edad	0.0143	0.29 (0.05, 0.53)
SS-R	Sexo	0.0050	0.36 (0.11, 0.60)

Siglas en Tabla S1.

^a Valor p del modelo efectos mixtos ajustando por el grupo, la edad, el sexo, edad de inicio de la enfermedad y considerando la edad como covariable (efecto aleatorio entre grupos).

Tabla S4. Difusividad axial: efectos marginales en modelos de efectos mixtos.

ROI	Grupo	Media (IC) ^a
ALIC	Esquizofrenia	11.91 (11.09, 12.73)
ALIC	TB-I con psicosis	12.01 (11.19, 12.83)
ALIC	TB-I sin psicosis	12.05 (11.23, 12.90)
ALIC-L	Esquizofrenia	11.60 (10.71, 12.50)
ALIC-L	TB-I con psicosis	11.70 (10.81, 12.58)
ALIC-L	TB-I sin psicosis	11.70 (10.82, 12.60)
ALIC-R	Esquizofrenia	12.19 (11.29, 13.10)
ALIC-R	TB-I con psicosis	12.29 (11.39, 13.19)
ALIC-R	TB-I sin psicosis	12.40 (11.46, 13.27)
CGC	Esquizofrenia	12.14 (11.04, 13.24)
CGC	TB-I con psicosis	12.31 (11.21, 13.41)
CGC	TB-I sin psicosis	12.17 (11.07, 13.28)
CGC-R	Esquizofrenia	11.93 (10.71, 13.16)
CGC-R	TB-I con psicosis	12.04 (10.81, 13.27)
CGC-R	TB-I sin psicosis	12.00 (10.77, 13.23)
CGH	Esquizofrenia	10.83 (9.17, 12.5)
CGH	TB-I con psicosis	10.91 (9.24, 12.57)
CGH	TB-I sin psicosis	10.80 (9.13, 12.46)
CGH-R	Esquizofrenia	11.04 (10.32, 11.76)
CGH-R	TB-I con psicosis	11.36 (10.56, 12.16)
CGH-R	TB-I sin psicosis	10.85 (10.10, 11.62)
EC	Esquizofrenia	11.45 (10.80, 12.10)
EC	TB-I con psicosis	11.33 (10.68, 11.98)
EC	TB-I sin psicosis	11.41 (10.76, 12.06)
EC-R	Esquizofrenia	11.50 (10.81, 12.20)
EC-R	TB-I con psicosis	11.36 (10.66, 12.05)
EC-R	TB-I sin psicosis	11.47 (10.78, 12.16)
FX	Esquizofrenia	23.97 (17.55, 30.38)
FX	TB-I con psicosis	23.81 (17.38, 30.25)

ROI	Grupo	Media (IC)^a
FX	TB-I sin psicosis	23.62 (17.18, 30.06)
FX.ST-L	Esquizofrenia	12.21 (10.97, 13.44)
FX.ST-L	TB-I con psicosis	12.12 (10.90, 13.36)
FX.ST-L	TB-I sin psicosis	12.17 (10.93, 13.41)
FX.ST-R	Esquizofrenia	12.62 (11.46, 13.77)
FX.ST-R	TB-I con psicosis	12.50 (11.34, 13.66)
FX.ST-R	TB-I sin psicosis	12.62 (11.46, 13.78)
FXST	Esquizofrenia	12.39 (11.30, 13.50)
FXST	TB-I con psicosis	12.29 (11.20, 13.38)
FXST	TB-I sin psicosis	12.37 (11.28, 13.46)
IC	Esquizofrenia	12.80 (12.15, 13.45)
IC	TB-I con psicosis	12.57 (11.90, 13.23)
IC	TB-I sin psicosis	12.73 (12.07, 13.40)
IC-R	Esquizofrenia	12.85 (12.12, 13.58)
IC-R	TB-I con psicosis	12.72 (12.00, 13.46)
IC-R	TB-I sin psicosis	12.90 (12.16, 13.63)
PTR	Esquizofrenia	12.90 (11.92, 13.87)
PTR	TB-I con psicosis	12.92 (11.95, 13.90)
PTR	TB-I sin psicosis	13.00 (12.02, 14.00)
PTR-R	Esquizofrenia	13.06 (12.05, 14.08)
PTR-R	TB-I con psicosis	13.10 (12.10, 14.12)
PTR-R	TB-I sin psicosis	13.08 (12.06, 14.10)
SCC	Esquizofrenia	15.50 (15.13, 15.90)
SCC	TB-I con psicosis	15.54 (15.10, 15.98)
SCC	TB-I sin psicosis	15.37 (14.96, 15.78)
SFO	Esquizofrenia	10.89 (9.77, 12.01)
SFO	TB-I con psicosis	10.87 (9.75, 12.00)
SFO	TB-I sin psicosis	10.73 (9.60, 11.85)
SFO-R	Esquizofrenia	11.21 (10.00, 12.41)
SFO-R	TB-I con psicosis	11.13 (9.93, 12.34)

ROI	Grupo	Media (IC)^a
SFO-R	TB-I sin psicosis	11.17 (9.96, 12.38)
SS-R	Esquizofrenia	12.54 (12.18, 12.89)
SS-R	TB-I con psicosis	12.43 (12.06, 12.79)
SS-R	TB-I sin psicosis	12.53 (12.17, 12.89)

Siglas en *Tabla S1*.

^a Efectos marginales con su respectivo intervalo de confianza del 95%.

Tabla S5. Difusividad radial: significancia estadística y tamaños del efecto de análisis.

ROI	Variable	p ^a	Tamaño del efecto
ALIC	Sexo	0.0049	0.34 (0.10, 0.57)
ALIC-L	Sexo	0.0259	0.27 (0, 0.51)
ALIC-R	Sexo	0.0063	0.33 (0.09, 0.56)
BCC	Edad	0.0137	0.30 (0.06, 0.53)
CC	Edad	0.0021	0.37 (0.14, 0.61)
CGC	Sexo	0.0082	0.32 (0.08, 0.55)
CGC-L	Sexo	0.0060	0.33 (0.09, 0.57)
CGC-R	Sexo	0.0305	0.26 (0, 0.49)
CGH-R	Edad de inicio	0.0252	0.27 (0, 0.50)
CR	Edad	0.0429	0.24 (0, 0.47)
CR-L	Edad	0.0219	0.27 (0.03, 0.51)
FX	Edad	0.0062	0.33 (0.09, 0.56)
FXST	Sexo	0.0422	0.24 (0, 0.47)
GCC	Edad	0.0002	0.45 (0.21, 0.70)
IC	Sexo	0.0007	0.41 (0.17, 0.65)
IC-L	Sexo	0.0032	0.36 (0.12, 0.60)
IC-R	Sexo	0.0009	0.41 (0.17, 0.64)
IFO-R	Sexo	0.0448	0.24 (0, 0.47)
PLIC	Sexo	0.0022	0.40 (0.14, 0.65)
PLIC-L	Sexo	0.0180	0.29 (0.04, 0.53)
PLIC-R	Sexo	0.0008	0.41 (0.17, 0.65)
PTR	Edad	0.0172	0.29 (0.04, 0.52)
PTR-R	Edad	0.0067	0.33 (0.09, 0.56)
RLIC	Sexo	0.0464	0.24 (0, 0.50)
RLIC-L	Sexo	0.0281	0.26 (0, 0.49)
SCR	Sexo	0.0376	0.25 (0, 0.48)
SCR-R	Sexo	0.0227	0.27 (0.02, 0.51)
SS-R	Sexo	0.0487	0.23 (0, 0.47)

ROI	Variable	p^a	Tamaño del efecto
------------	-----------------	----------------------	--------------------------

Siglas en *Tabla S1*.

^a Valor p del modelo efectos mixtos ajustando por el grupo, la edad, el sexo, edad de inicio de la enfermedad y considerando la edad como covariable (efecto aleatorio entre grupos).

Tabla S6. Difusividad radial: efectos marginales en modelos de efectos mixtos.

ROI	Grupo	Media (IC) ^a
ALIC	Esquizofrenia	4.49 (4.11, 4.88)
ALIC	TB-I con psicosis	4.34 (3.96, 4.72)
ALIC	TB-I sin psicosis	4.38 (3.99, 4.76)
ALIC-L	Esquizofrenia	4.42 (4.26, 4.60)
ALIC-L	TB-I con psicosis	4.38 (4.19, 4.56)
ALIC-L	TB-I sin psicosis	4.39 (4.21, 4.56)
ALIC-R	Esquizofrenia	4.51 (4.05, 4.97)
ALIC-R	TB-I con psicosis	4.34 (3.88, 4.81)
ALIC-R	TB-I sin psicosis	4.38 (3.92, 4.85)
BCC	Esquizofrenia	4.19 (3.21, 5.18)
BCC	TB-I con psicosis	4.18 (3.19, 5.16)
BCC	TB-I sin psicosis	4.21 (3.23, 5.20)
CC	Esquizofrenia	3.87 (3.13, 4.61)
CC	TB-I con psicosis	3.83 (3.10, 4.57)
CC	TB-I sin psicosis	3.87 (3.12, 4.61)
CGC	Esquizofrenia	4.30 (3.62, 4.99)
CGC	TB-I con psicosis	4.22 (3.53, 4.91)
CGC	TB-I sin psicosis	4.26 (3.57, 4.95)
CGC-L	Esquizofrenia	4.15 (3.38, 4.92)
CGC-L	TB-I con psicosis	4.07 (3.30, 4.84)
CGC-L	TB-I sin psicosis	4.08 (3.31, 4.85)
CGC-R	Esquizofrenia	4.47 (3.77, 5.16)
CGC-R	TB-I con psicosis	4.38 (3.68, 5.07)
CGC-R	TB-I sin psicosis	4.45 (3.76, 5.15)
CGH-R	Esquizofrenia	4.11 (3.04, 5.17)
CGH-R	TB-I con psicosis	4.15 (3.08, 5.21)
CGH-R	TB-I sin psicosis	3.98 (2.91, 5.04)
CR	Esquizofrenia	5.14 (4.57, 5.71)
CR	TB-I con psicosis	5.15 (4.57, 5.72)

ROI	Grupo	Media (IC)^a
CR	TB-I sin psicosis	5.16 (4.59, 5.74)
CR-L	Esquizofrenia	5.17 (4.60, 5.75)
CR-L	TB-I con psicosis	5.16 (4.59, 5.74)
CR-L	TB-I sin psicosis	5.19 (4.61, 5.77)
FX	Esquizofrenia	14.59 (7.43, 21.75)
FX	TB-I con psicosis	13.87 (6.70, 21.05)
FX	TB-I sin psicosis	14.18 (7.00, 21.36)
FXST	Esquizofrenia	5.10 (4.58, 5.63)
FXST	TB-I con psicosis	4.95 (4.42, 5.47)
FXST	TB-I sin psicosis	4.96 (4.44, 5.49)
GCC	Esquizofrenia	3.85 (3.04, 4.65)
GCC	TB-I con psicosis	3.80 (2.99, 4.60)
GCC	TB-I sin psicosis	3.81 (3.00, 4.62)
IC	Esquizofrenia	3.96 (3.59, 4.34)
IC	TB-I con psicosis	3.90 (3.52, 4.27)
IC	TB-I sin psicosis	3.96 (3.58, 4.33)
IC-L	Esquizofrenia	3.97 (3.56, 4.38)
IC-L	TB-I con psicosis	3.87 (3.46, 4.29)
IC-L	TB-I sin psicosis	3.94 (3.52, 4.35)
IC-R	Esquizofrenia	3.96 (3.55, 4.36)
IC-R	TB-I con psicosis	3.92 (3.51, 4.32)
IC-R	TB-I sin psicosis	3.97 (3.57, 4.38)
IFO-R	Esquizofrenia	4.95 (4.01, 5.90)
IFO-R	TB-I con psicosis	4.67 (3.72, 5.61)
IFO-R	TB-I sin psicosis	4.82 (3.88, 5.77)
PLIC	Esquizofrenia	3.06 (2.84, 3.28)
PLIC	TB-I con psicosis	3.03 (2.82, 3.24)
PLIC	TB-I sin psicosis	3.08 (2.86, 3.30)
PLIC-L	Esquizofrenia	3.06 (2.83, 3.30)
PLIC-L	TB-I con psicosis	2.92 (2.65, 3.19)

ROI	Grupo	Media (IC)^a
PLIC-L	TB-I sin psicosis	3.13 (2.87, 3.38)
PLIC-R	Esquizofrenia	3.08 (2.50, 3.66)
PLIC-R	TB-I con psicosis	3.03 (2.45, 3.61)
PLIC-R	TB-I sin psicosis	3.12 (2.54, 3.70)
PTR	Esquizofrenia	4.39 (3.70, 5.08)
PTR	TB-I con psicosis	4.41 (3.71, 5.10)
PTR	TB-I sin psicosis	4.45 (3.76, 5.15)
PTR-R	Esquizofrenia	4.35 (3.67, 5.03)
PTR-R	TB-I con psicosis	4.40 (3.71, 5.08)
PTR-R	TB-I sin psicosis	4.41 (3.73, 5.09)
RLIC	Esquizofrenia	4.49 (3.97, 5.02)
RLIC	TB-I con psicosis	4.49 (3.96, 5.01)
RLIC	TB-I sin psicosis	4.54 (4.01, 5.07)
RLIC-L	Esquizofrenia	4.59 (4.00, 5.19)
RLIC-L	TB-I con psicosis	4.47 (3.87, 5.07)
RLIC-L	TB-I sin psicosis	4.54 (3.94, 5.1)
SCR	Esquizofrenia	4.71 (4.23, 5.18)
SCR	TB-I con psicosis	4.69 (4.21, 5.17)
SCR	TB-I sin psicosis	4.74 (4.26, 5.22)
SCR-R	Esquizofrenia	4.66 (4.17, 5.14)
SCR-R	TB-I con psicosis	4.68 (4.20, 5.17)
SCR-R	TB-I sin psicosis	4.69 (4.20, 5.17)
SS-R	Esquizofrenia	4.87 (4.09, 5.65)
SS-R	TB-I con psicosis	4.90 (4.12, 5.68)
SS-R	TB-I sin psicosis	4.85 (4.07, 5.63)

Siglas en *Tabla S1*.

^a Efectos marginales con su respectivo intervalo de confianza del 95%.

Tabla S7. Difusividad media: significancia estadística y tamaños del efecto de análisis.

ROI	Variable	p ^a	Tamaño del efecto
ALIC	Edad	0.0022	0.37 (0.13, 0.61)
ALIC-L	Edad	0.0160	0.29 (0.05, 0.52)
ALIC-R	Sexo	0.0423	0.24 (0, 0.47)
ALIC-R	Edad	0.0034	0.35 (0.12, 0.59)
CGC	Sexo	0.0121	0.31 (0.06, 0.54)
CGC-L	Sexo	0.0320	0.26 (0, 0.49)
CGC-R	Sexo	0.0210	0.29 (0.03, 0.54)
CGH-R	Sexo	0.0241	0.27 (0.01, 0.50)
FX	Edad	0.0081	0.32 (0.08, 0.55)
FX.ST-L	Sexo	0.0130	0.30 (0.06, 0.53)
FX.ST-R	Sexo	0.0002	0.46 (0.22, 0.70)
FX.ST-R	Edad	0.0338	0.25 (0, 0.49)
FXST	Sexo	0.0004	0.43 (0.19, 0.67)
IC	Sexo	0.0022	0.37 (0.13, 0.61)
IC	Edad	0.0018	0.38 (0.14, 0.62)
IC-L	Sexo	0.0156	0.29 (0.05, 0.52)
IC-L	Edad	0.0102	0.31 (0.07, 0.54)
IC-R	Sexo	0.0013	0.39 (0.15, 0.6)
IC-R	Edad	0.0015	0.39 (0.15, 0.62)
PLIC	Sexo	0.0126	0.30 (0.06, 0.53)
PLIC-R	Sexo	0.0026	0.37 (0.13, 0.61)
RLIC	Sexo	0.0157	0.29 (0.05, 0.52)
RLIC-L	Sexo	0.0286	0.26 (0, 0.49)
RLIC-R	Sexo	0.0403	0.24 (0, 0.48)
SS-R	Sexo	0.0032	0.36 (0.12, 0.59)
UNC	Edad	0.0306	0.26 (0, 0.49)

Siglas en *Tabla S1*.

^a Valor p del modelo efectos mixtos ajustando por el grupo, la edad, el sexo, edad de inicio de la enfermedad y considerando la edad como covariante (efecto aleatorio entre grupos).

Tabla S8. Difusividad media: efectos Marginales en modelos de efectos mixtos.

ROI	Grupo	Media (IC) ^a
ALIC	Esquizofrenia	6.98 (6.60, 7.36)
ALIC	TB-I con psicosis	6.88 (6.50, 7.25)
ALIC	TB-I sin psicosis	6.92 (6.54, 7.30)
ALIC-L	Esquizofrenia	6.87 (6.42 ,7.31)
ALIC-L	TB-I con psicosis	6.76 (6.31, 7.21)
ALIC-L	TB-I sin psicosis	6.80 (6.35, 7.25)
ALIC-R	Esquizofrenia	7.09 (6.70, 7.51)
ALIC-R	TB-I con psicosis	6.98 (6.55, 7.40)
ALIC-R	TB-I sin psicosis	7.03 (6.61, 7.46)
CGC	Esquizofrenia	6.92 (6.70, 7.14)
CGC	TB-I con psicosis	6.88 (6.68, 7.07)
CGC	TB-I sin psicosis	6.96 (6.76, 7.17)
CGC-L	Esquizofrenia	6.85 (6.62, 7.09)
CGC-L	TB-I con psicosis	6.90 (6.66, 7.08)
CGC-L	TB-I sin psicosis	6.92 (6.70, 7.15)
CGC-R	Esquizofrenia	6.98 (6.74, 7.22)
CGC-R	TB-I con psicosis	6.91 (6.68, 7.14)
CGC-R	TB-I sin psicosis	6.99 (6.75, 7.23)
CGH-R	Esquizofrenia	6.73 (6.28, 7.18)
CGH-R	TB-I con psicosis	6.37 (5.97, 6.77)
CGH-R	TB-I sin psicosis	6.11 (5.68, 6.54)
FX	Esquizofrenia	17.79 (10.98, 24.60)
FX	TB-I con psicosis	17.10 (10.27, 23.93)
FX	TB-I sin psicosis	17.28 (10.44, 24.11)
FX.ST-L	Esquizofrenia	7.61 (6.95, 8.26)
FX.ST-L	TB-I con psicosis	7.37 (6.71, 8.03)
FX.ST-L	TB-I sin psicosis	7.40 (6.74, 8.05)
FX.ST-R	Esquizofrenia	7.51 (7.00, 8.04)
FX.ST-R	TB-I con psicosis	7.42 (6.88, 7.96)

ROI	Grupo	Media (IC)^a
FX.ST-R	TB-I sin psicosis	7.48 (6.94, 8.02)
FXST	Esquizofrenia	7.56 (7.06, 8.07)
FXST	TB-I con psicosis	7.40 (6.88, 7.89)
FXST	TB-I sin psicosis	7.43 (6.93, 7.94)
IC	Esquizofrenia	6.89 (6.50, 7.30)
IC	TB-I con psicosis	6.79 (6.40, 7.18)
IC	TB-I sin psicosis	6.87 (6.48, 7.26)
IC-L	Esquizofrenia	6.86 (6.39, 7.32)
IC-L	TB-I con psicosis	6.74 (6.28, 7.21)
IC-L	TB-I sin psicosis	6.80 (6.33, 7.27)
IC-R	Esquizofrenia	6.92 (6.52, 7.31)
IC-R	TB-I con psicosis	6.84 (6.44, 7.24)
IC-R	TB-I sin psicosis	6.94 (6.54, 7.34)
PLIC	Esquizofrenia	6.34 (6.12, 6.55)
PLIC	TB-I con psicosis	6.36 (6.17, 6.56)
PLIC	TB-I sin psicosis	6.35 (6.15, 6.56)
PLIC-R	Esquizofrenia	6.44 (6.21, 6.66)
PLIC-R	TB-I con psicosis	6.41 (6.21, 6.62)
PLIC-R	TB-I sin psicosis	6.42 (6.20, 6.63)
RLIC	Esquizofrenia	7.36 (6.86, 7.86)
RLIC	TB-I con psicosis	7.29 (6.79, 7.79)
RLIC	TB-I sin psicosis	7.40 (6.90, 7.90)
RLIC-L	Esquizofrenia	7.46 (6.86, 8.06)
RLIC-L	TB-I con psicosis	7.32 (6.71, 7.92)
RLIC-L	TB-I sin psicosis	7.41 (6.81, 8.01)
RLIC-R	Esquizofrenia	7.26 (6.73, 7.80)
RLIC-R	TB-I con psicosis	7.26 (6.73, 7.80)
RLIC-R	TB-I sin psicosis	7.39 (6.85, 7.93)
SS-R	Esquizofrenia	7.44 (6.72, 8.15)
SS-R	TB-I con psicosis	7.39 (6.68, 8.11)

ROI	Grupo	Media (IC)^a
SS-R	TB-I sin psicosis	7.40 (6.68, 8.12)
UNC	Esquizofrenia	8.46 (7.53, 9.38)
UNC	TB-I con psicosis	8.44 (7.51, 9.36)
UNC	TB-I sin psicosis	8.33 (7.40, 9.26)

^a Efectos marginales con su respectivo intervalo de confianza del 95%.

Siglas en *Tabla S1*.

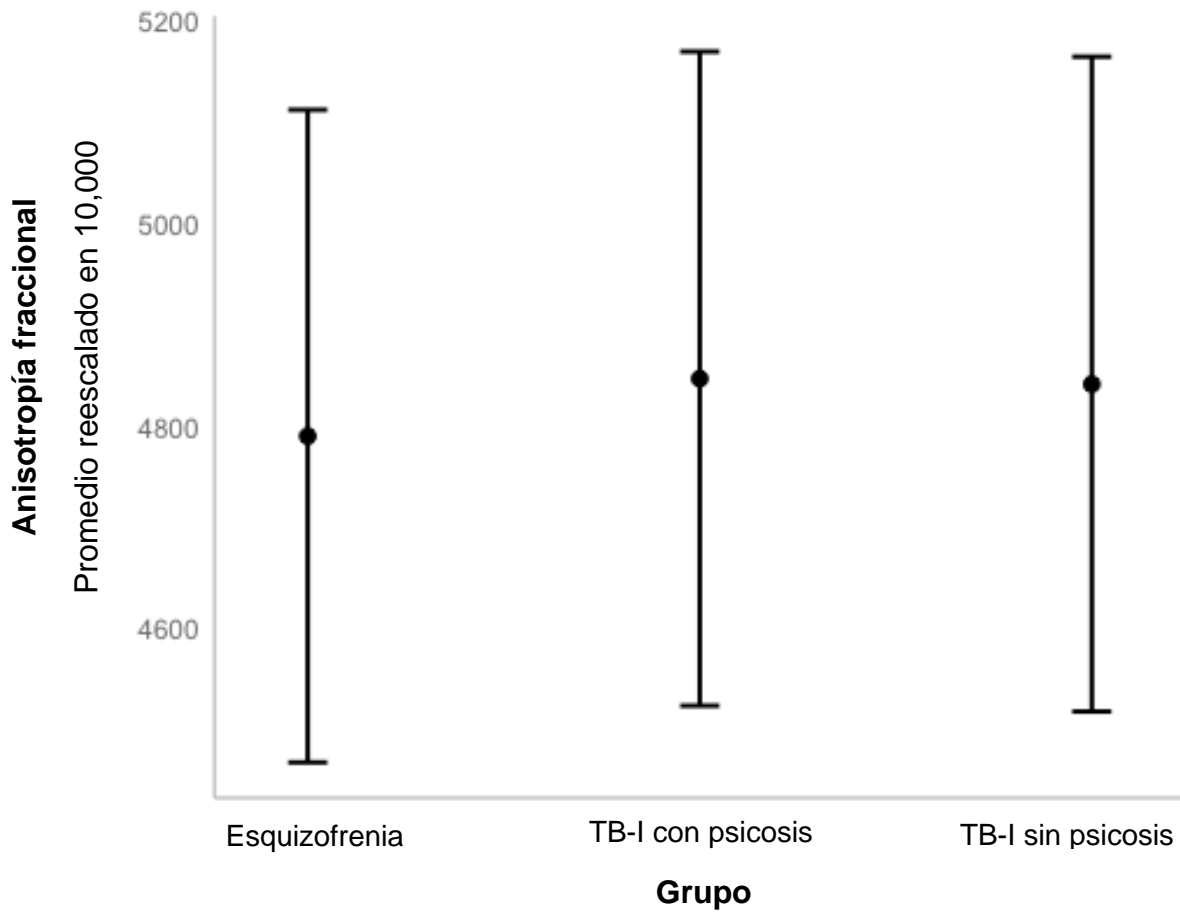


Figura S1. Anisotropía Fraccional promedio - Grupos.